



AKADEMIA GÓRNICZO-HUTNICZA
IM. STANISŁAWA STASZICA W KRAKOWIE
AGH UNIVERSITY OF KRAKOW

Model Standardowy- Wstęp

Agnieszka Obłąkowska-Mucha

Wydział Fizyki i Informatyki Stosowanej

Katedra Oddziaływań i Detekcji Cząstek

<http://home.agh.edu.pl/~amucha/>

D11 p. 106

$$\begin{aligned} \mathcal{L}_{SM} = & -\frac{1}{2}\partial_\nu g_\mu^a \partial_\nu g_\mu^a - g_s f^{abc} \partial_\mu g_\nu^a g_\mu^b g_\nu^c - \frac{1}{4}g_s^2 f^{abc} f^{ade} g_\mu^b g_\nu^c g_\mu^d g_\nu^e - \partial_\nu W_\mu^+ \partial_\nu W_\mu^- \\ & M^2 W_\mu^+ W_\mu^- - \frac{1}{2}\partial_\nu Z_\mu^0 \partial_\nu Z_\mu^0 - \frac{1}{2c_w^2} M^2 Z_\mu^0 Z_\mu^0 - \frac{1}{2}\partial_\mu A_\nu \partial_\mu A_\nu - ig_{c_w} (\partial_\nu Z_\mu^0 (W_\mu^+ W_\nu^- \\ & W_\mu^- W_\nu^+) - Z_\mu^0 (W_\mu^+ \partial_\nu W_\mu^- - W_\nu^- \partial_\mu W_\mu^+) + Z_\mu^0 (W_\nu^+ \partial_\mu W_\mu^- - W_\mu^- \partial_\nu W_\mu^+)) - \\ & ig_{s_w} (\partial_\nu A_\mu (W_\mu^+ W_\nu^- - W_\nu^- W_\mu^-) - A_\nu (W_\mu^+ \partial_\nu W_\mu^- - W_\mu^- \partial_\nu W_\mu^+) + A_\mu (W_\nu^+ \partial_\nu W_\mu^- \\ & W_\nu^- \partial_\nu W_\mu^+)) - \frac{1}{2}g^2 W_\mu^+ W_\nu^- W_\nu^+ W_\mu^- + \frac{1}{2}g^2 W_\mu^+ W_\nu^- W_\mu^- W_\nu^+ + g^2 c_w^2 (Z_\mu^0 W_\mu^+ Z_\nu^0 W_\nu^- \\ & Z_\mu^0 Z_\nu^0 W_\mu^+ W_\nu^-) + g^2 s_w^2 (A_\mu W_\mu^+ A_\nu W_\nu^- - A_\mu A_\nu W_\mu^+ W_\nu^-) + g^2 s_w c_w (A_\mu Z_\nu^0 (W_\mu^+ W_\nu^- \\ & W_\nu^+ W_\mu^-) - 2A_\mu Z_\mu^0 W_\nu^+ W_\nu^-) - \frac{1}{2}\partial_\mu H \partial_\mu H - 2M^2 \alpha_h H^2 - \partial_\mu \phi^+ \partial_\mu \phi^- - \frac{1}{2}\partial_\mu \phi^0 \partial_\mu \phi^0 - \\ & \beta_h \left(\frac{2M^2}{g^2} + \frac{2M}{g} H + \frac{1}{2}(H^2 + \phi^0 \phi^0 + 2\phi^+ \phi^-) \right) + \frac{2M^2}{g^2} \alpha_h - \\ & g \alpha_h M (H^3 + H \phi^0 \phi^0 + 2H \phi^+ \phi^-) - \\ & \frac{1}{8}g^2 \alpha_h (H^4 + (\phi^0)^4 + 4(\phi^+ \phi^-)^2 + 4(\phi^0)^2 \phi^+ \phi^- + 4H^2 \phi^+ \phi^- + 2(\phi^0)^2 H^2) - \\ & g M W_\mu^+ W_\mu^- H - \frac{1}{2}g \frac{M}{c_w^2} Z_\mu^0 Z_\mu^0 H - \\ & \frac{1}{2}ig (W_\mu^+ (\phi^0 \partial_\mu \phi^- - \phi^- \partial_\mu \phi^0) - W_\mu^- (\phi^0 \partial_\mu \phi^+ - \phi^+ \partial_\mu \phi^0)) + \\ & \frac{1}{2}g (W_\mu^+ (H \partial_\mu \phi^- - \phi^- \partial_\mu H) + W_\mu^- (H \partial_\mu \phi^+ - \phi^+ \partial_\mu H)) + \frac{1}{2}g \frac{1}{c_w} (Z_\mu^0 (H \partial_\mu \phi^0 - \phi^0 \partial_\mu H) + \\ & M (\frac{1}{c_w} Z_\mu^0 \partial_\mu \phi^0 + W_\mu^+ \partial_\mu \phi^- + W_\mu^- \partial_\mu \phi^+)) - ig \frac{2M}{c_w} Z_\mu^0 (W_\mu^+ \phi^- - W_\mu^- \phi^+) + ig s_w M A_\mu (W_\mu^+ \phi^- - \\ & W_\mu^- \phi^+) - ig \frac{1-2c_w^2}{2c_w} Z_\mu^0 (\phi^+ \partial_\mu \phi^- - \phi^- \partial_\mu \phi^+) + ig s_w A_\mu (\phi^+ \partial_\mu \phi^- - \phi^- \partial_\mu \phi^+) - \\ & \frac{1}{4}g^2 W_\mu^+ W_\mu^- (H^2 + (\phi^0)^2 + 2\phi^+ \phi^-) - \frac{1}{8}g^2 \frac{1}{c_w^2} Z_\mu^0 Z_\mu^0 (H^2 + (\phi^0)^2 + 2(2s_w^2 - 1)^2 \phi^+ \phi^-) - \\ & \frac{1}{2}g^2 \frac{s_w^2}{c_w} Z_\mu^0 \phi^0 (W_\mu^+ \phi^- + W_\mu^- \phi^+) - \frac{1}{2}ig^2 \frac{s_w^2}{c_w} Z_\mu^0 H (W_\mu^+ \phi^- - W_\mu^- \phi^+) + \frac{1}{2}g^2 s_w A_\mu \phi^0 (W_\mu^+ \phi^- + \\ & W_\mu^- \phi^+) + \frac{1}{2}ig^2 s_w A_\mu H (W_\mu^+ \phi^- - W_\mu^- \phi^+) - g^2 \frac{s_w}{c_w} (2c_w^2 - 1) Z_\mu^0 A_\mu \phi^+ \phi^- - \\ & g^2 s_w^2 A_\mu A_\nu \phi^+ \phi^- + \frac{1}{2}ig_\nu \lambda_j^3 (\bar{q}_j^\nu \gamma^\mu q_j^\nu) g_\nu^a - \bar{e}^\lambda (\gamma^\partial + m_e^\lambda) e^\lambda - \bar{\nu}^\lambda (\gamma^\partial + m_\nu^\lambda) \nu^\lambda - \bar{u}_j^\lambda (\gamma^\partial + \\ & m_u^\lambda) u_j^\lambda - \bar{d}_j^\lambda (\gamma^\partial + m_d^\lambda) d_j^\lambda + ig s_w A_\mu (-\bar{e}^\lambda \gamma^\mu e^\lambda + \frac{2}{3}(\bar{u}_j^\lambda \gamma^\mu u_j^\lambda) - \frac{1}{3}(\bar{d}_j^\lambda \gamma^\mu d_j^\lambda)) + \\ & \frac{ig}{4c_w} Z_\mu^0 (\bar{\nu}^\lambda \gamma^\mu (1 + \gamma^5) \nu^\lambda) + (\bar{e}^\lambda \gamma^\mu (4s_w^2 - 1 - \gamma^5) e^\lambda) + (\bar{d}_j^\lambda \gamma^\mu (\frac{4}{3}s_w^2 - 1 - \gamma^5) d_j^\lambda) + \\ & (\bar{u}_j^\lambda \gamma^\mu (1 - \frac{8}{3}s_w^2 + \gamma^5) u_j^\lambda) + \frac{ig}{2\sqrt{2}} W_\mu^+ ((\bar{\nu}^\lambda \gamma^\mu (1 + \gamma^5) U^{lep}_{\lambda\kappa} e^\kappa) + (\bar{u}_j^\lambda \gamma^\mu (1 + \gamma^5) C_{\lambda\kappa} d_j^\kappa)) + \\ & \frac{ig}{2\sqrt{2}} W_\mu^- ((\bar{e}^\kappa U^{lep}_{\kappa\lambda} \gamma^\mu (1 + \gamma^5) \nu^\lambda) + (\bar{d}_j^\kappa C_{\kappa\lambda}^\dagger \gamma^\mu (1 + \gamma^5) u_j^\lambda)) + \\ & \frac{ig}{2M\sqrt{2}} \phi^+ (-m_e^\kappa (\bar{\nu}^\lambda U^{lep}_{\lambda\kappa} (1 - \gamma^5) e^\kappa) + m_\nu^\kappa (\bar{\nu}^\lambda U^{lep}_{\lambda\kappa} (1 + \gamma^5) e^\kappa) + \\ & \frac{ig}{2M\sqrt{2}} \phi^- (m_e^\lambda (\bar{e}^\lambda U^{lep}_{\lambda\kappa} (1 + \gamma^5) \nu^\kappa) - m_\nu^\kappa (\bar{e}^\lambda U^{lep}_{\lambda\kappa} (1 - \gamma^5) \nu^\kappa) - \frac{g}{2} \frac{m_\nu^\lambda}{M} H (\bar{\nu}^\lambda \nu^\lambda) - \\ & \frac{g}{2} \frac{m_\nu^\lambda}{M} H (\bar{e}^\lambda e^\lambda) + \frac{ig}{2} \frac{m_\nu^\lambda}{M} \phi^0 (\bar{\nu}^\lambda \gamma^5 \nu^\lambda) - \frac{ig}{2} \frac{m_\nu^\lambda}{M} \phi^0 (\bar{e}^\lambda \gamma^5 e^\lambda) - \frac{1}{4} \bar{\nu}_\lambda M_{\lambda\kappa}^R (1 - \gamma_5) \bar{\nu}_\kappa - \\ & \frac{1}{4} \bar{\nu}_\lambda M_{\lambda\kappa}^R (1 - \gamma_5) \bar{\nu}_\kappa + \frac{ig}{2M\sqrt{2}} \phi^+ (-m_u^\kappa (\bar{u}_j^\lambda C_{\lambda\kappa} (1 - \gamma^5) d_j^\kappa) + m_u^\lambda (\bar{u}_j^\lambda C_{\lambda\kappa} (1 + \gamma^5) d_j^\kappa) + \\ & \frac{ig}{2M\sqrt{2}} \phi^- (m_d^\lambda (\bar{d}_j^\lambda C_{\lambda\kappa}^\dagger (1 + \gamma^5) u_j^\kappa) - m_u^\kappa (\bar{d}_j^\lambda C_{\lambda\kappa}^\dagger (1 - \gamma^5) u_j^\kappa) - \frac{g}{2} \frac{m_u^\lambda}{M} H (\bar{u}_j^\lambda u_j^\lambda) - \\ & \frac{g}{2} \frac{m_u^\lambda}{M} H (\bar{d}_j^\lambda d_j^\lambda) + \frac{ig}{2} \frac{m_u^\lambda}{M} \phi^0 (\bar{u}_j^\lambda \gamma^5 u_j^\lambda) - \frac{ig}{2} \frac{m_u^\lambda}{M} \phi^0 (\bar{d}_j^\lambda \gamma^5 d_j^\lambda) + \bar{C}^a \partial^2 G^a + g_s f^{abc} \partial_\mu \bar{C}^a G^b g_\mu^c + \\ & \bar{X}^+ (\partial^2 - M^2) X^+ + \bar{X}^- (\partial^2 - M^2) X^- + \bar{X}^0 (\partial^2 - \frac{M^2}{c_w^2}) X^0 + \bar{Y} \partial^2 Y + ig_{c_w} W_\mu^+ (\partial_\mu \bar{X}^0 X^- - \\ & \partial_\mu \bar{X}^+ X^0) + ig_{s_w} W_\mu^+ (\partial_\mu \bar{Y} X^- - \partial_\mu \bar{X}^+ Y) + ig_{c_w} W_\mu^- (\partial_\mu \bar{X}^- X^0 - \\ & \partial_\mu \bar{X}^0 X^+) + ig_{s_w} W_\mu^- (\partial_\mu \bar{X}^- Y - \partial_\mu \bar{Y} X^+) + ig_{c_w} Z_\mu^0 (\partial_\mu \bar{X}^+ X^+ - \\ & \partial_\mu \bar{X}^- X^-) + ig_{s_w} A_\mu (\partial_\mu \bar{X}^+ X^+ - \\ & \partial_\mu \bar{X}^- X^-) - \frac{1}{2}gM (\bar{X}^+ X^+ H + \bar{X}^- X^- H + \frac{1}{c_w^2} \bar{X}^0 X^0 H) + \frac{1-2c_w^2}{2c_w} igM (\bar{X}^+ X^0 \phi^+ - \bar{X}^- X^0 \phi^-) + \\ & \frac{1}{2c_w} igM (\bar{X}^0 X^- \phi^+ - \bar{X}^0 X^+ \phi^-) + igM s_w (\bar{X}^0 X^- \phi^+ - \bar{X}^0 X^+ \phi^-) + \\ & \frac{1}{2}igM (\bar{X}^+ X^+ \phi^0 - \bar{X}^- X^- \phi^0) . \end{aligned}$$

Plan kursu

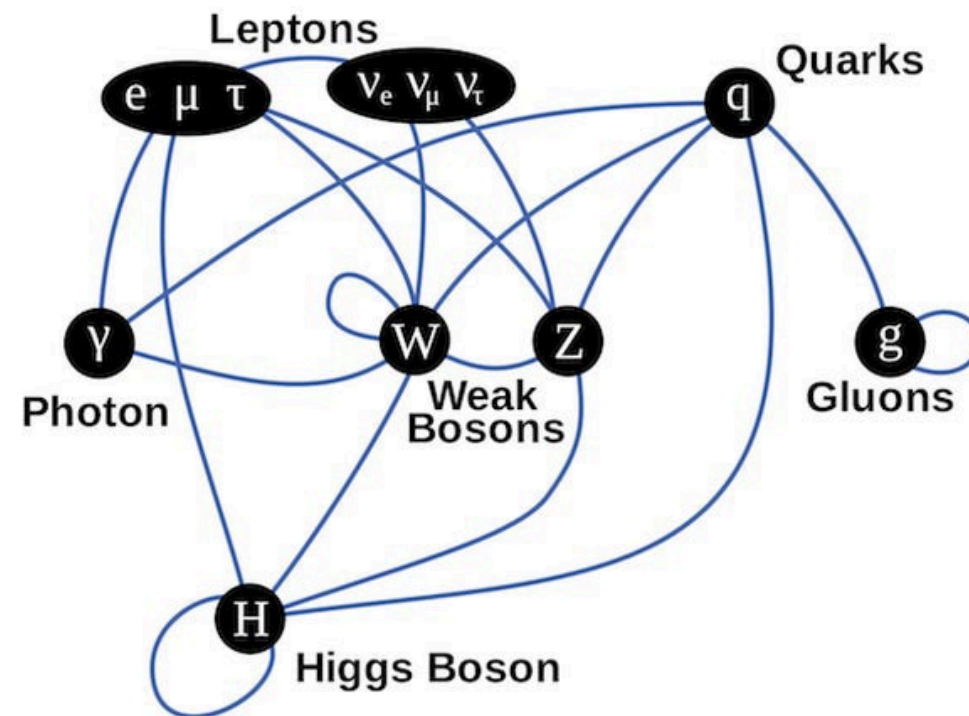
1. Wprowadzenie
2. Grupy i symetrie
3. Relatywistyka
4. Trochę mechaniki kwantowej
5. Lagrangiany i transformacja cechowania.
6. Równanie Diraca
7. Oddziaływania elektromagnetyczne
8. Precyzyjne pomiary Modelu Standardowego

Model Standardowy na obrazkach

Standard Model of Elementary Particles

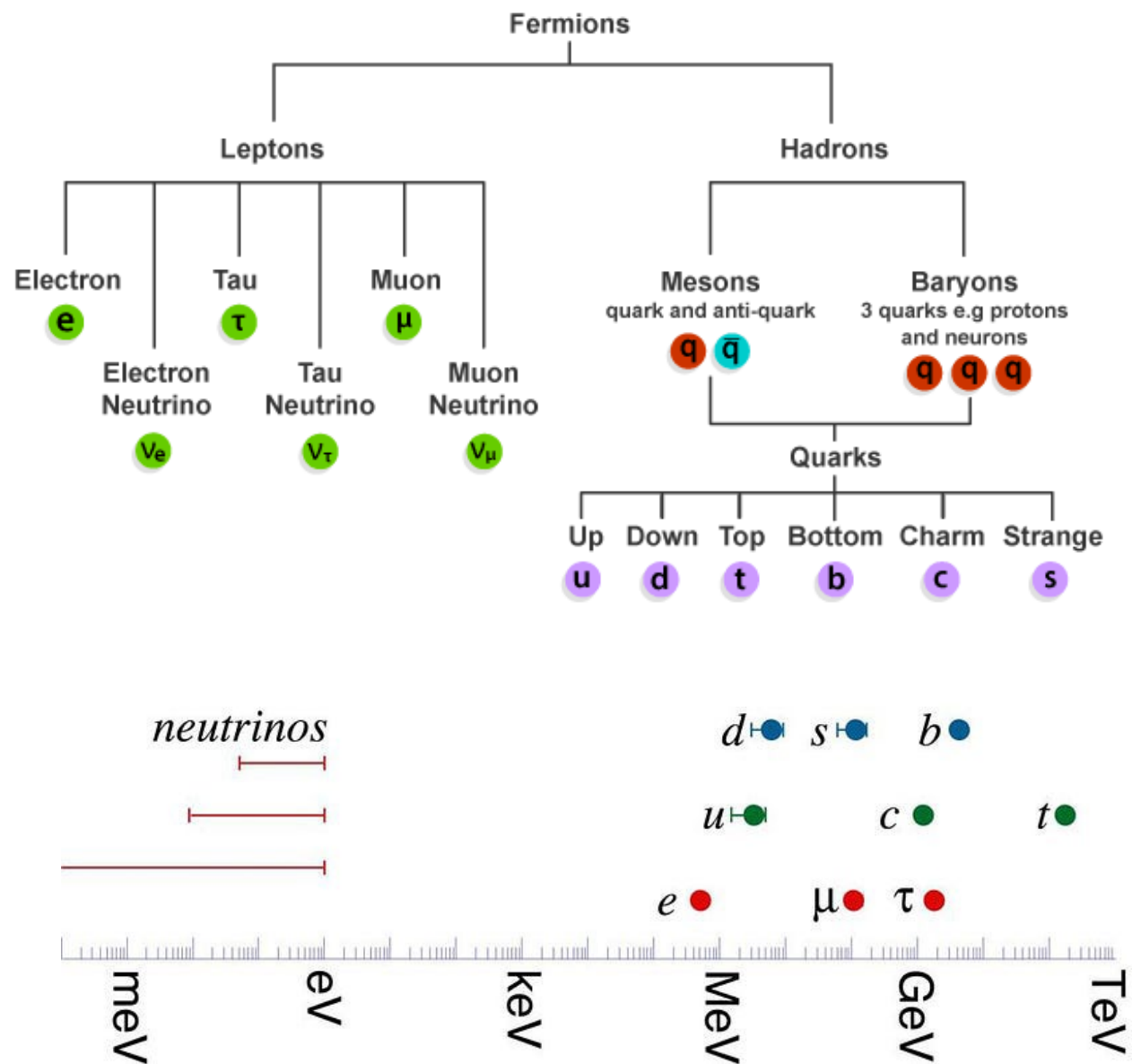
	three generations of matter (fermions)			interactions / force carriers (bosons)	
	I	II	III		
mass	$\approx 2.2 \text{ MeV}/c^2$	$\approx 1.28 \text{ GeV}/c^2$	$\approx 173.1 \text{ GeV}/c^2$	0	$\approx 124.97 \text{ GeV}/c^2$
charge	$\frac{2}{3}$	$\frac{2}{3}$	$\frac{2}{3}$	0	0
spin	$\frac{1}{2}$	$\frac{1}{2}$	$\frac{1}{2}$	1	0
	u up	c charm	t top	g gluon	H higgs
	d down	s strange	b bottom	γ photon	
	e electron	μ muon	τ tau	Z Z boson	
	ν_e electron neutrino	ν_μ muon neutrino	ν_τ tau neutrino	W W boson	

QUARKS (left side of fermion table)
LEPTONS (left side of fermion table)
GAUGE BOSONS VECTOR BOSONS (bottom of boson table)
SCALAR BOSONS (right side of boson table)



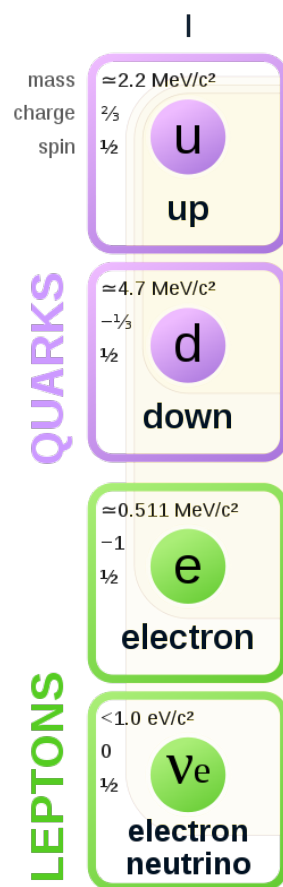
Model Standardowy ma już 50 lat!

Masy w Modelu Standardowym (problem)



Proton, neutron i ziemska materia

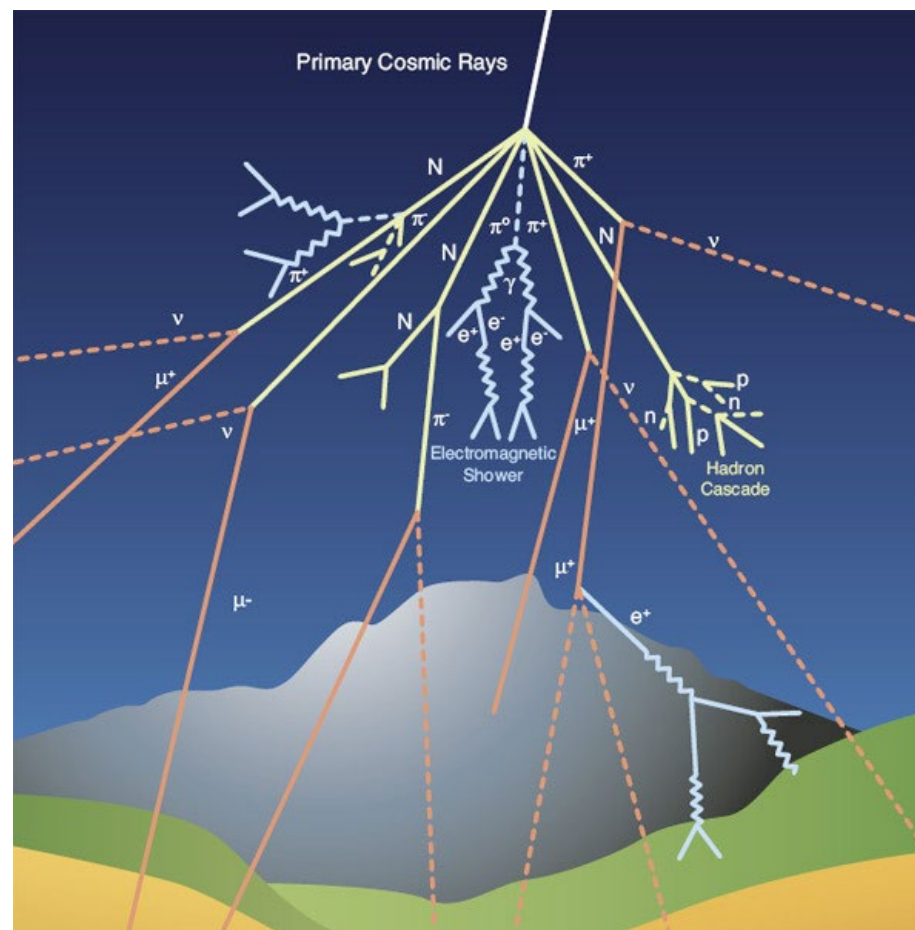
Materia znaleziona na Ziemi składa się z cząstek z pierwszej rodziny:



Promieniowanie kosmiczne

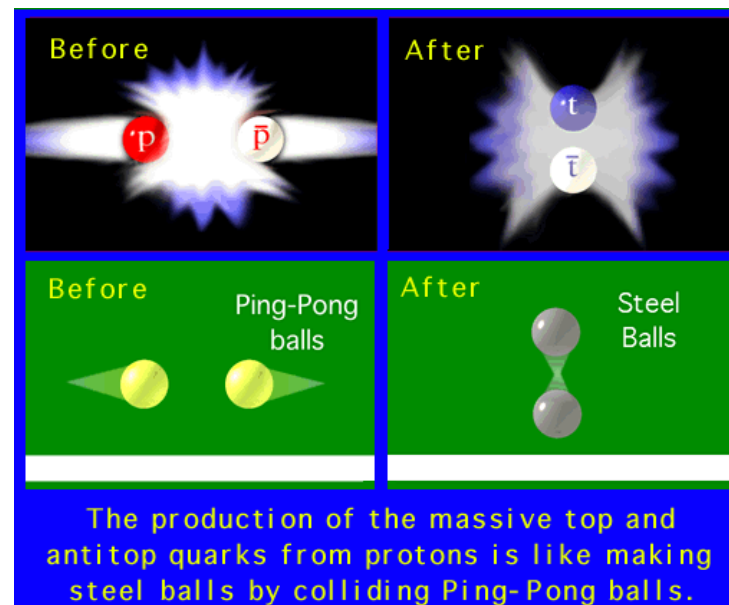
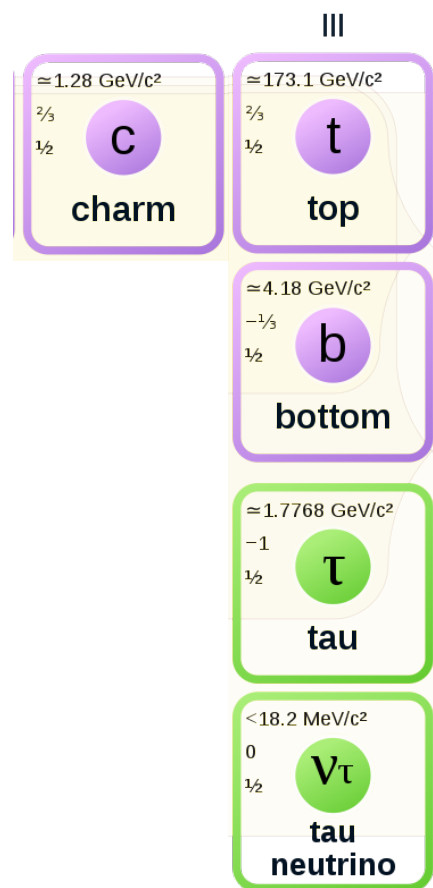
Z kosmosu przyleciały dziwne cząstki: kaony, piony i nowe neutrino (mionowe)

	I	II
mass	$\approx 2.2 \text{ MeV}/c^2$	$\approx 1.28 \text{ GeV}/c^2$
charge	$\frac{2}{3}$	$\frac{2}{3}$
spin	$\frac{1}{2}$	$\frac{1}{2}$
	u up	c charm
	d down	s strange
	e electron	μ muon
	ν_e electron neutrino	ν_μ muon neutrino



Piękno i powab – wyższe energie

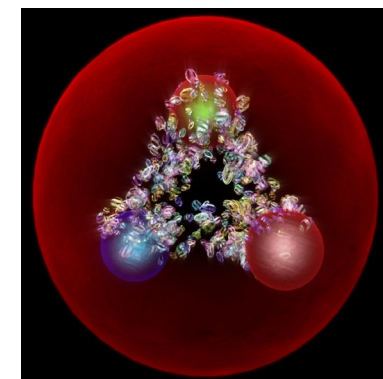
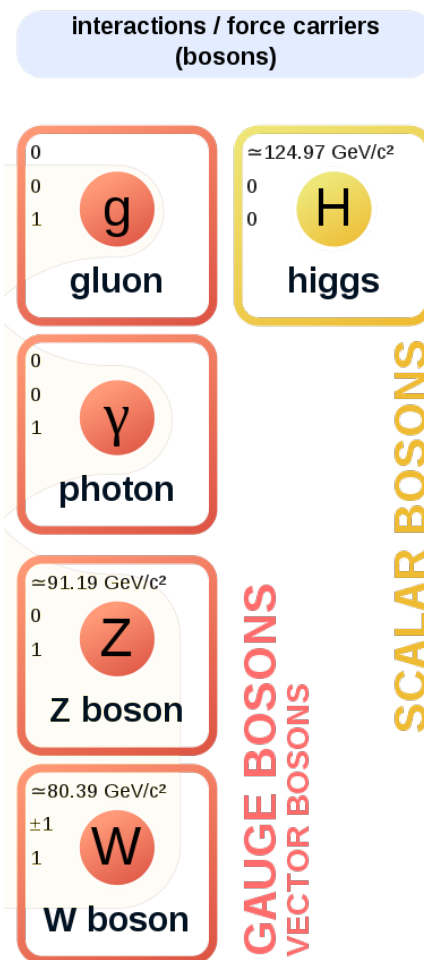
A trzecia rodzina to wymaga specjalnych urządzeń, pojawia się tylko przy najwyższych energiach!



https://ed.fnal.gov/samplers/hspphys/activities/graphics/pingpong_steel.gif

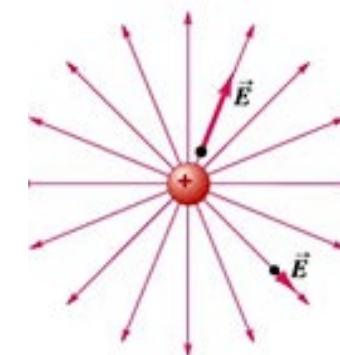
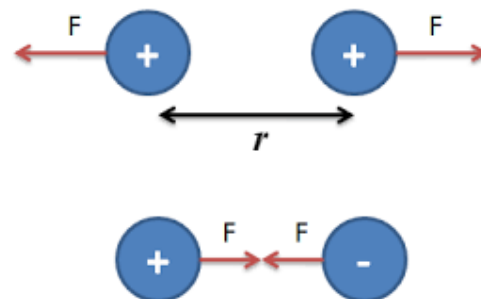
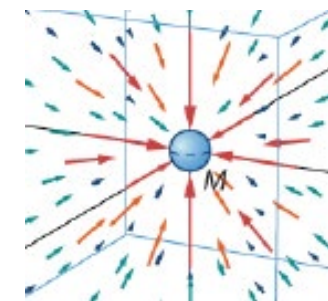
Oddziaływania – bozony pośredniczące

- Do złożenia kwarków w proton potrzebne są **gluony**.
- Dzięki **fotonom** są oddziaływania elektromagnetyczne.
- A bozony **W i Z** zapewniają nam energię ze Słońca.
- Bozon Higgsa** na razie przydaje się do zamknięcia Modelu w zgrabną teorię (elektrosłabą).



Oddziaływania – bozony pośredniczące

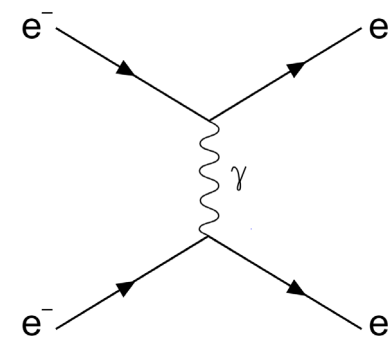
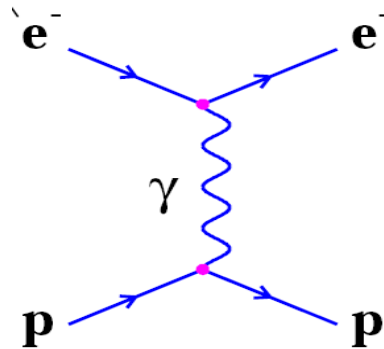
- Masy oddziałują nawet na dużych odległościach, w próżni. Opisujemy to **polem grawitacyjnym** i siłami grawitacyjnymi.
- Ładunki elektryczne podobnie – oddziałują wytwarzając **pole elektrostatyczne** , opisane potencjałem: $V(\mathbf{r}) = \frac{1}{4\pi\epsilon_0} \frac{Q}{r}$



- W jaki sposób jedno ciało działa na drugie przez próżnię, bez żadnego ośrodka?

Oddziaływania – bozony pośredniczące

- Współcześnie mówimy, że elektron oddziałał z protonem poprzez wymianę cząstki (wirtualnej).
- Wymaga to założenia, że każda cząstka (naładowana elektrycznie) otoczona jest chmurą (wirtualnych) cząstek,
- Jak ładunki są blisko siebie, to może dojść do wymiany tych cząstek.



Emisja czątki wirtualnej

Rozważmy proces $A + B \rightarrow A + B$ zachodzący z wymianą czątki X :

$$A(m_A, 0) \rightarrow A(E_A, \vec{p}_A) + X(E_X, \vec{p}_X)$$

$$\vec{p}_X = -\vec{p}_A$$

$$p = p_x = p_A$$

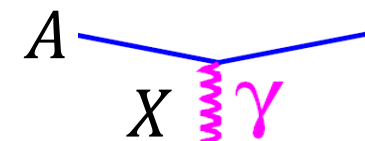
Czeropęd A:

$$P_A = (E_A, \vec{p}_A)$$

$$P_A^2 = E_A^2 - p_A^2 \equiv m_A^2$$

$$E_A = \sqrt{p^2 + m_A^2}$$

$$E_X = \sqrt{p^2 + m_X^2}$$



„jednostki naturalne”:
 $c = 1, h = 1$

Różnica energii pomiędzy stanem końcowym i początkowym: $\Delta E = E_X + E_A - m_A$
jest różna od zera!

$$\left. \begin{array}{l} \text{gdy } p \rightarrow 0 \text{ to } \Delta E \rightarrow m_X \\ \text{gdy } p \rightarrow \infty \text{ to } \Delta E \rightarrow p \end{array} \right\} \Delta E \geq m_X$$

a zatem energia **nie jest zachowana...**

Wymiana cząstki – zasięg oddziaływań

Zasada nieoznaczoności Heisenberga pozwala na pogwałcenie ZZE na krótką chwilę:

$$\tau \leq \frac{1}{\Delta E} = \frac{1}{m_X c^2}$$

co pozwala wyznaczyć odległość, którą może przebyć cząstka X zanim zostanie zabsorbowana

$$r \leq \frac{1}{m_X c}$$

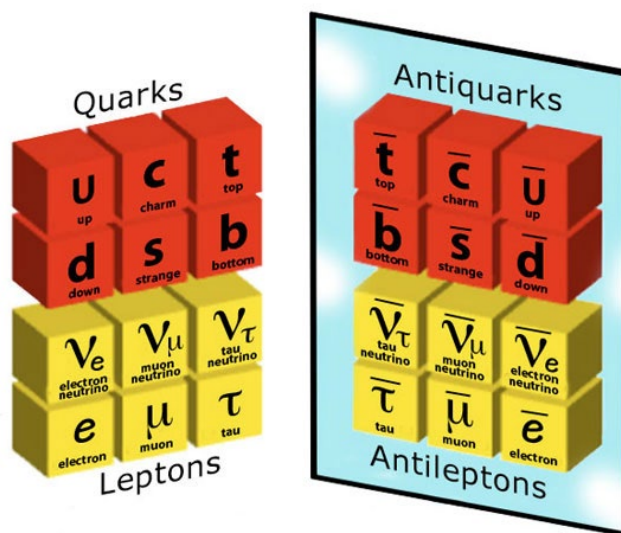
Największa odległość nazywana jest **ZASIĘGIEM ODDZIAŁYWANIA (RANGE)**

$$R = \frac{1}{m_X c}$$

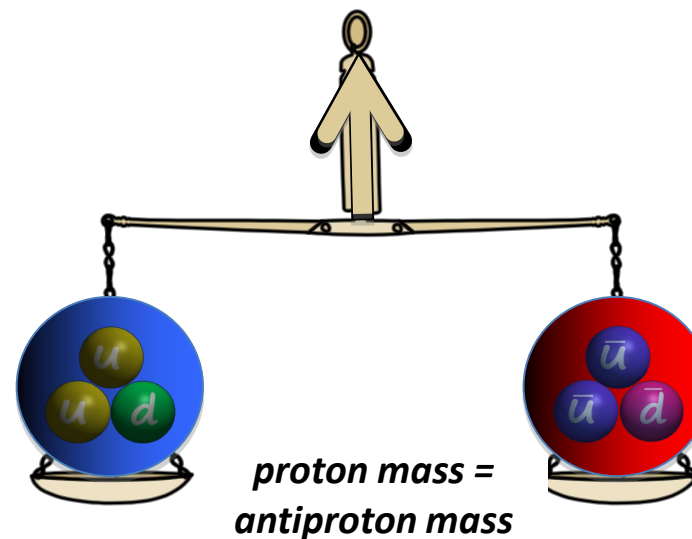
W ten prosty sposób wyznaczyliśmy zależność pomiędzy masą wymienianej cząstki a zasięgiem oddziaływania (problem z masą fotonu wróci)

Antymateria

No i mamy jeszcze antykwarki i antyleptony, czyli **antymaterię**.



Czy jest antygravitacja?



MS - Lagranżian

$$\mathcal{L}_{SM} = \mathcal{L}_0 + \mathcal{L}'$$

\mathcal{L}_0 - pola (cząstki) swobodne)

\mathcal{L}' - oddziaływania

$$\mathcal{L}_0 = -\frac{1}{4}F_{\mu\nu}F^{\mu\nu} + \boxed{i\bar{\psi}\gamma^\mu\partial_\mu\psi} \quad \text{fermiony}$$

$$\mathcal{L}' = \boxed{e\bar{\psi}\gamma^\mu A_\mu\psi} \quad \text{oddz. fermion-foton}$$

$$\begin{aligned} \mathcal{L}_{SM} = & \underbrace{\frac{1}{4}W_{\mu\nu} \cdot W^{\mu\nu} - \frac{1}{4}B_{\mu\nu}B^{\mu\nu} - \frac{1}{4}G_{\mu\nu}^\alpha G_{\mu\nu}^\alpha}_{\text{kinetic energies and self-interactions of the gauge bosons}} \\ & + \underbrace{\bar{L}\gamma^\mu \left(i\partial_\mu - \frac{1}{2}g\tau \cdot W_\mu - \frac{1}{2}g'YB_\mu \right) L + \bar{R}\gamma^\mu \left(i\partial_\mu - \frac{1}{2}g'YB_\mu \right) R}_{\text{kinetic energies and electroweak interactions of fermions}} \\ & + \underbrace{\frac{1}{2} \left| \left(i\partial_\mu - \frac{1}{2}g\tau \cdot W_\mu - \frac{1}{2}g'YB_\mu \right) \phi \right|^2 - V(\phi)}_{W^\pm, Z, \gamma \text{ and Higgs masses and couplings}} \\ & + \underbrace{g''(\bar{q}\gamma^\mu T_a q)G_\mu^\alpha}_{\text{interactions between quarks and gluons}} + \underbrace{(G_1\bar{L}\phi R + G_2\bar{L}\phi_c R + h.c.)}_{\text{fermion masses and couplings to Higgs}} \end{aligned}$$

Standard Model

https://en.wikipedia.org/wiki/Standard_Model

Technically, [quantum field theory](#) provides the mathematical framework for the Standard Model, in which a [Lagrangian](#) controls the dynamics and kinematics of the theory. Each kind of particle is described in terms of a dynamical [field](#) that pervades [space-time](#).^[46] The construction of the Standard Model proceeds following the modern method of constructing most field theories: by first postulating a set of symmetries of the system, and then by writing down the most general [renormalizable](#) Lagrangian from its particle (field) content that observes these symmetries.

The [global Poincaré symmetry](#) is postulated for all relativistic quantum field theories. It consists of the familiar [translational symmetry](#), [rotational symmetry](#) and the inertial reference frame invariance central to the theory of [special relativity](#). The [local \$SU\(3\) \times SU\(2\) \times U\(1\)\$ gauge symmetry](#) is an [internal symmetry](#) that essentially defines the Standard Model. Roughly, the three factors of the gauge symmetry give rise to the three fundamental interactions. The fields fall into different [representations](#) of the various symmetry groups of the Standard Model (see table). Upon writing the most general Lagrangian, one finds that the dynamics depends on 19 parameters, whose numerical values are established by experiment. The parameters are summarized in the table (made visible by clicking "show") above.

Struktura Modelu Standardowego

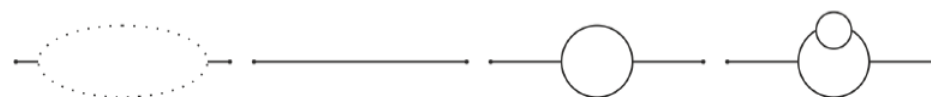
- MS jest to MODEL, a nie TEORIA.
- MS jest to efektywna teoria, w której istotną rolę odgrywają wyniki doświadczalne (np. masa elektronu, stałe sprzężenia, etc.).

Teoria strun (dla odmiany) nie potrzebuje wyników – jest wyprowadzana z czysto matematycznych przesłanek.

- MS oparty jest na teorii, w której liczba cząstek nie jest stała, ale są one nieustannie tworzone i ciągle anihilują.

tą teorią nie jest Mechanika Kwantowa, ani Relatywistyczna MK

- MS oparty jest na Kwantowej Teorii Pola (QFT).



$$MS(QFT) = QM + RM$$

© OriginalArtist
Reproduction rights obtainable from
www.CartoonStock.com



"I still don't understand quantum theory."

Struktura Modelu Standardowego

MS jest relatywistyczną kwantową teorią pola, niezmienniczą względem lokalnej transformacji cechowania.

Symetrią MS jest grupa $SU(3)_C \otimes SU(2)_L \otimes U(1)_Y$

$SU(3)_C$

↓

QCD

$SU(2)_L \otimes U(1)_Y$

↓

elektrosłabe

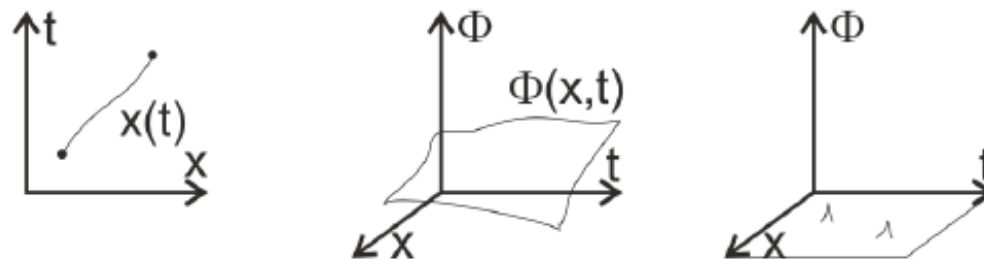
$$\begin{aligned}
 & -\frac{1}{2}\partial_\nu g_\mu^a \partial_\nu g_\mu^a - g_s f^{abc} \partial_\mu g_\nu^a g_\mu^b g_\nu^c - \frac{1}{4}g_s^2 f^{abc} f^{ade} g_\mu^b g_\nu^c g_\mu^d g_\nu^e + \\
 & \frac{1}{2}ig_s^2 (\bar{q}_i^\alpha \gamma^\mu q_j^\alpha) g_\mu^a + \bar{G}^a \partial^2 G^a + g_s f^{abc} \partial_\mu \bar{G}^a G^b g_\mu^c - \partial_\nu W_\mu^+ \partial_\nu W_\mu^- - \\
 & M^2 W_\mu^+ W_\mu^- - \frac{1}{2}\partial_\nu Z_\mu^0 \partial_\nu Z_\mu^0 - \frac{1}{2c_w^2} M^2 Z_\mu^0 Z_\mu^0 - \frac{1}{2}\partial_\mu A_\nu \partial_\mu A_\nu - \frac{1}{2}\partial_\mu H \partial_\mu H - \\
 & \frac{1}{2}m_h^2 H^2 - \partial_\mu \phi^+ \partial_\mu \phi^- - M^2 \phi^+ \phi^- - \frac{1}{2}\partial_\mu \phi^0 \partial_\mu \phi^0 - \frac{1}{2c_w^2} M \phi^0 \phi^0 - \beta_h \left[\frac{2M^2}{g^2} + \right. \\
 & \left. \frac{2M}{g} H + \frac{1}{2}(H^2 + \phi^0 \phi^0 + 2\phi^+ \phi^-) \right] + \frac{2M^4}{g^2} \alpha_h - ig_c w [\partial_\nu Z_\mu^0 (W_\mu^+ W_\nu^- - \\
 & W_\nu^+ W_\mu^-) - Z_\nu^0 (W_\mu^+ \partial_\nu W_\mu^- - W_\mu^- \partial_\nu W_\mu^+) + Z_\mu^0 (W_\nu^+ \partial_\nu W_\mu^- - \\
 & W_\nu^- \partial_\nu W_\mu^+)] - ig_s w [\partial_\nu A_\mu (W_\mu^+ W_\nu^- - W_\nu^+ W_\mu^-) - A_\nu (W_\mu^+ \partial_\nu W_\mu^- - \\
 & W_\mu^- \partial_\nu W_\mu^+) + A_\mu (W_\nu^+ \partial_\nu W_\mu^- - W_\nu^- \partial_\nu W_\mu^+)] - \frac{1}{2}g^2 W_\mu^+ W_\mu^- W_\nu^+ W_\nu^- + \\
 & \frac{1}{2}g^2 W_\mu^+ W_\nu^- W_\mu^+ W_\nu^- + g^2 c_w^2 (Z_\mu^0 W_\nu^+ Z_\nu^0 W_\mu^- - Z_\mu^0 Z_\nu^0 W_\mu^+ W_\nu^-) + \\
 & g^2 s_w^2 (A_\mu W_\nu^+ A_\nu W_\mu^- - A_\mu A_\nu W_\nu^+ W_\mu^-) + g^2 s_w c_w [A_\mu Z_\nu^0 (W_\mu^+ W_\nu^- - \\
 & W_\nu^+ W_\mu^-) - 2A_\mu Z_\mu^0 W_\nu^+ W_\nu^-] - g\alpha [H^3 + H\phi^0 \phi^0 + 2H\phi^+ \phi^-] - \\
 & \frac{1}{8}g^2 \alpha_h [H^4 + (\phi^0)^4 + 4(\phi^+ \phi^-)^2 + 4(\phi^0)^2 \phi^+ \phi^- + 4H^2 \phi^+ \phi^- + 2(\phi^0)^2 H^2] - \\
 & gM W_\mu^+ W_\mu^- H - \frac{1}{2}g \frac{M}{c_w} Z_\mu^0 Z_\mu^0 H - \frac{1}{2}ig [W_\mu^+ (\phi^0 \partial_\mu \phi^- - \phi^- \partial_\mu \phi^0) - \\
 & W_\mu^- (\phi^0 \partial_\mu \phi^+ - \phi^+ \partial_\mu \phi^0)] + \frac{1}{2}g [W_\mu^+ (H \partial_\mu \phi^- - \phi^- \partial_\mu H) - W_\mu^- (H \partial_\mu \phi^+ - \\
 & \phi^+ \partial_\mu H)] + \frac{1}{2}g \frac{1}{c_w} (Z_\mu^0 (H \partial_\mu \phi^0 - \phi^0 \partial_\mu H) - ig \frac{s_w^2}{c_w} M Z_\mu^0 (W_\mu^+ \phi^- - W_\mu^- \phi^+) + \\
 & ig_s w M A_\mu (W_\mu^+ \phi^- - W_\mu^- \phi^+) - ig \frac{1-2c_w^2}{2c_w} Z_\mu^0 (\phi^+ \partial_\mu \phi^- - \phi^- \partial_\mu \phi^+) + \\
 & ig_s w A_\mu (\phi^+ \partial_\mu \phi^- - \phi^- \partial_\mu \phi^+) - \frac{1}{4}g^2 W_\mu^+ W_\mu^- [H^2 + (\phi^0)^2 + 2\phi^+ \phi^-] - \\
 & \frac{1}{4}g^2 \frac{1}{c_w} Z_\mu^0 Z_\mu^0 [H^2 + (\phi^0)^2 + 2(2s_w^2 - 1)^2 \phi^+ \phi^-] - \frac{1}{2}g^2 \frac{s_w^2}{c_w} Z_\mu^0 \phi^0 (W_\mu^+ \phi^- + \\
 & W_\mu^- \phi^+) - \frac{1}{2}ig^2 \frac{s_w^2}{c_w} Z_\mu^0 H (W_\mu^+ \phi^- - W_\mu^- \phi^+) + \frac{1}{2}g^2 s_w A_\mu \phi^0 (W_\mu^+ \phi^- + \\
 & W_\mu^- \phi^+) + \frac{1}{2}ig^2 s_w A_\mu H (W_\mu^+ \phi^- - W_\mu^- \phi^+) - g^2 \frac{s_w}{c_w} (2c_w^2 - 1) Z_\mu^0 A_\mu \phi^+ \phi^- - \\
 & g^4 s_w^2 A_\mu A_\mu \phi^+ \phi^- - \bar{e}^\lambda (\gamma \partial + m_e) e^\lambda - \bar{\nu}^\lambda \gamma \partial \nu^\lambda - \bar{u}_j^\lambda (\gamma \partial + m_u) u_j^\lambda - \\
 & \bar{d}_j^\lambda (\gamma \partial + m_d) d_j^\lambda + ig_s w A_\mu [-(\bar{e}^\lambda \gamma^\mu e^\lambda) + \frac{2}{3}(\bar{u}_j^\lambda \gamma^\mu u_j^\lambda) - \frac{1}{3}(\bar{d}_j^\lambda \gamma^\mu d_j^\lambda)] + \\
 & \frac{ig}{4c_w} Z_\mu^0 [(\bar{\nu}^\lambda \gamma^\mu (1 + \gamma^5) \nu^\lambda) + (\bar{e}^\lambda \gamma^\mu (4s_w^2 - 1 - \gamma^5) e^\lambda) + (\bar{u}_j^\lambda \gamma^\mu (\frac{4}{3}s_w^2 - \\
 & 1 - \gamma^5) u_j^\lambda) + (\bar{d}_j^\lambda \gamma^\mu (1 - \frac{8}{3}s_w^2 - \gamma^5) d_j^\lambda)] + \frac{ig}{2\sqrt{2}} W_\mu^+ [(\bar{\nu}^\lambda \gamma^\mu (1 + \gamma^5) e^\lambda) + \\
 & (\bar{u}_j^\lambda \gamma^\mu (1 + \gamma^5) C_{\lambda\kappa} d_j^\kappa)] + \frac{ig}{2\sqrt{2}} W_\mu^- [(\bar{e}^\lambda \gamma^\mu (1 + \gamma^5) \nu^\lambda) + (\bar{d}_j^\kappa C_{\lambda\kappa}^\dagger \gamma^\mu (1 + \\
 & \gamma^5) u_j^\lambda)] + \frac{ig}{2\sqrt{2}} \frac{m_\lambda^2}{M} [-\phi^+ (\bar{\nu}^\lambda (1 - \gamma^5) e^\lambda) + \phi^- (\bar{e}^\lambda (1 + \gamma^5) \nu^\lambda)] - \\
 & \frac{g}{2} \frac{m_\lambda^2}{M} [H (\bar{e}^\lambda e^\lambda) + i\phi^0 (\bar{e}^\lambda \gamma^5 e^\lambda)] + \frac{ig}{2M\sqrt{2}} \phi^+ [-m_d^\kappa (\bar{u}_j^\lambda C_{\lambda\kappa} (1 - \gamma^5) d_j^\kappa) + \\
 & m_u^\lambda (\bar{u}_j^\lambda C_{\lambda\kappa} (1 + \gamma^5) d_j^\kappa) + \frac{ig}{2M\sqrt{2}} \phi^- [m_d^\dagger (\bar{d}_j^\lambda C_{\lambda\kappa}^\dagger (1 + \gamma^5) u_j^\kappa) - m_u^\kappa (\bar{d}_j^\lambda C_{\lambda\kappa}^\dagger (1 - \\
 & \gamma^5) u_j^\kappa) - \frac{g}{2} \frac{m_\lambda^2}{M} H (\bar{u}_j^\lambda u_j^\lambda) - \frac{g}{2} \frac{m_\lambda^2}{M} H (\bar{d}_j^\lambda d_j^\lambda) + \frac{ig}{2} \frac{m_\lambda^2}{M} \phi^0 (\bar{u}_j^\lambda \gamma^5 u_j^\lambda) - \\
 & \frac{ig}{2} \frac{m_\lambda^2}{M} \phi^0 (\bar{d}_j^\lambda \gamma^5 d_j^\lambda) + \bar{X}^+ (\partial^2 - M^2) X^+ + \bar{X}^- (\partial^2 - M^2) X^- + \bar{X}^0 (\partial^2 - \\
 & \frac{M^2}{c_w^2}) X^0 + \bar{Y} \partial^2 Y + ig_c w W_\mu^+ (\partial_\mu \bar{X}^0 X^- - \partial_\mu \bar{X}^+ X^0) + ig_s w W_\mu^- (\partial_\mu \bar{Y} X^- - \\
 & \partial_\mu \bar{X}^+ Y) + ig_c w W_\mu^- (\partial_\mu \bar{X}^- X^0 - \partial_\mu \bar{X}^0 X^+) + ig_s w W_\mu^- (\partial_\mu \bar{X}^- Y - \\
 & \partial_\mu \bar{Y} X^+) + ig_c w Z_\mu^0 (\partial_\mu \bar{X}^+ X^+ - \partial_\mu \bar{X}^- X^-) + ig_s w A_\mu (\partial_\mu \bar{X}^+ X^+ - \\
 & \partial_\mu \bar{X}^- X^-) - \frac{1}{2}gM [\bar{X}^+ X^+ H + \bar{X}^- X^- H + \frac{1}{c_w} \bar{X}^0 X^0 H] + \\
 & \frac{1-2c_w^2}{2c_w} igM [\bar{X}^+ X^0 \phi^+ - \bar{X}^- X^0 \phi^-] + \frac{1}{2c_w} igM [\bar{X}^0 X^- \phi^+ - \bar{X}^0 X^+ \phi^-] + \\
 & igM s_w [\bar{X}^0 X^- \phi^+ - \bar{X}^0 X^+ \phi^-] + \frac{1}{2}igM [\bar{X}^+ X^+ \phi^0 - \bar{X}^- X^- \phi^0]
 \end{aligned}$$

- 1 gluon
- 2 Bozony W i Z
- 3 słabe oddziaływanie cząstek
- 4 wirtualne duchy

QFT – zwiastuny

QFT czerpie z mechaniki klasycznej, mechaniki kwantowej i mechaniki relatywistycznej

1. Cząstka porusza się po czasoprzestrzennej trajektorii opisanej funkcją $x(t)$, czas jest tu parametrem.
2. Pole to obiekt opisany funkcją $\Phi(x, t)$. Zupełnie różny od cząstek.
3. Ale czasem występują małe fluktuacje tego pola, i je przypiszemy powstaniu cząstek.



4. QFT to teoria uwzględniająca spin, identyczność cząstek, zjawiska perturbacyjne i nieperturbacyjne.
5. QFT opisuje cząstki o spinie 0 (skalary), 1/2 (fermiony) oraz 1 (cząstki wektorowe – bozony cechowania, czyli przenoszące oddziaływania).

QFT – narzędzia

Relatywistyka

Równanie Schrödingera

Równanie Kleina-Gordona

Równanie Eulera-Lagrange'a

Zasada najmniejszego działania

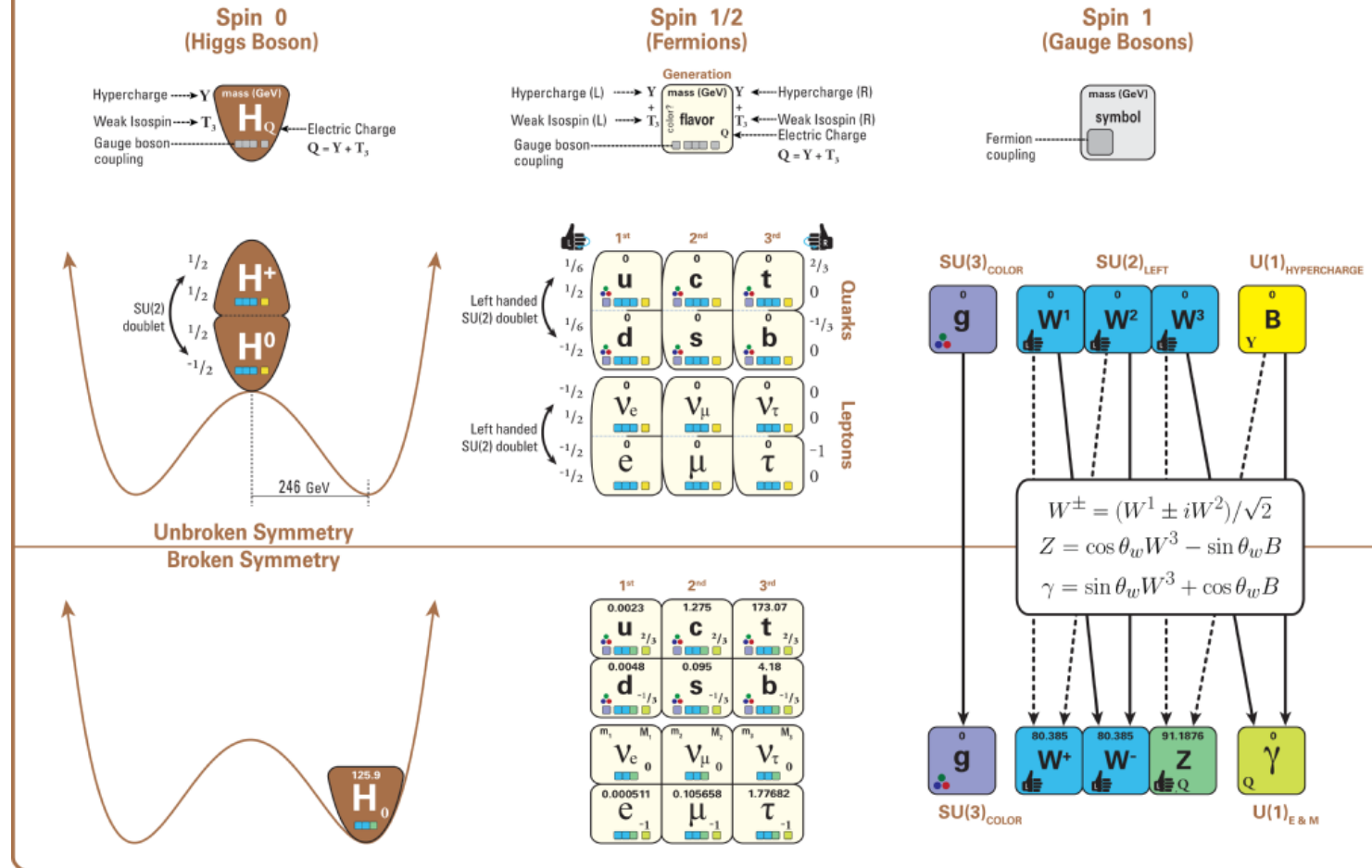
Pole elektromagnetyczne, lokalna
symetria cechowania

Teoria grup – grupy Lie, nieabelowe

Czterowektory
Interwał czasoprzestrzenny
Tensor metryczny
Operatory różniczkowania

Równanie ciągłości.
Gęstość prawdopodobieństwa

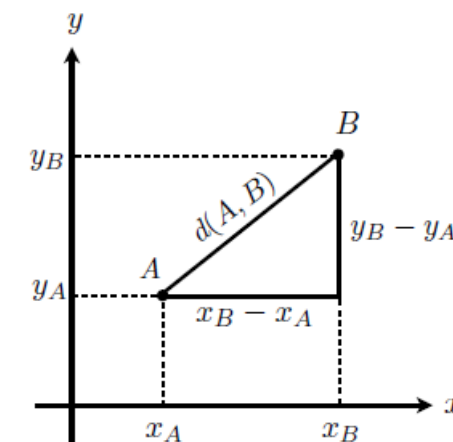
The Standard Model of Particle Physics



By Latham Boyle - Converted to PNG from File:Standard Model Of Particle Physics, Most Complete Diagram.jpg, CC BY-SA 4.0, <https://commons.wikimedia.org/w/index.php?curid=45839544>

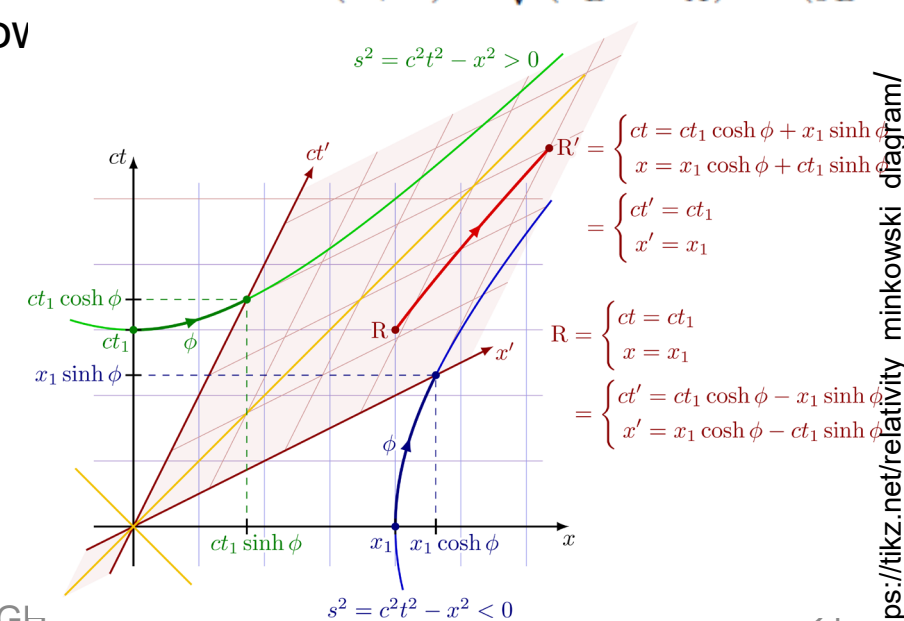
Symetrie geometryczne

- Starożytni (Arystoteles, Galileo) zauważali związek symetrii z prawami fizyki:
- np. symetria pustej przestrzeni \Rightarrow bezwładność, odwrócenie kierunku ruchu prowadzi do takiego samego ruchu
- XIX wiek – teoria grup – różne własności geometryczne układów można uzyskać wykonując proste transformacje,
- Geometria Euklidesowa – niezmienniczość odległości pomiędzy punktami względem obrotu i przesunięcia.
- Pierre Curie – matematyczny opis oparty teorię grup zastosow krystalografii.
- Pomysł Emmy Noether – związek symetrii z zachowanym ładunkiem.
- Hermann Minkowski – geometryczna interpretacja STW, niezmienniczość zdarzeń w różnych układach pozostawia niezmiennik $x^2 + y^2 + z^2 - (ict)^2 = const$ i podaje własności transformacji Lorentza.



$$x^i = R^i_j x^j + a^i$$

$$d(A, B) = \sqrt{(x_B - x_A)^2 + (y_B - y_A)^2}$$



Przekształcenia i zasady zachowania

Symetrie

Translacje w czasie i przestrzeni
(t, x)

Obroty w przestrzeni

Odbicie lustrzane

Transformacja cechowania

Zachowane

Energia i pęd (E, p)

Moment Pędu

Parzystość przestrzenna

Ładunek

Uwaga:

Odbicie w czasie i obroty w czasoprzestrzeni nie są opisane transformacją unitarną i nie prowadzą do zachowanych parametrów

Przekształcenia i zasady zachowania

Symetrie

Translacje w czasie i przestrzeni
(t, x)

Obroty w przestrzeni

Odbicie lustrzane

Transformacja cechowania

Zachowane

Energia i pęd (E, p)

Moment Pędu

Parzystość przestrzenna

Ładunek

Uwaga:

Odbicie w czasie i obroty w czasoprzestrzeni nie są opisane transformacją unitarną i nie prowadzą do zachowanych parametrów